“Modeling the UV to Radio Spectral Energy Distribution of NGC 6946: Star Formation Rates and Dust Attenuation Properties”

by Obi, Ikechukwu A, Okeke, Pius N., Okere, Bonaventure I. (2025.3) https://doi.org/10.3847/1538-4357/ada957 GAゼミ 2025.3.13 曹

abstract

本論文では、**GRASILモデル**を用いて**NGC 6946の星形成領域**における**紫外線から電波までのスペクトルエネルギー分布（SED）のフィッティング分析を行なった。**主な目的は、**IMFの上限質量に応じたSFRの較正**を得ることと、**ダストの減光特性**を調査することである。結果、**SFRと電波高度の比は安定しており、 SFR較正**は、IMF上端質量に依存することが示された。また**ダストの減衰を受ける光と受けにくい光の間に、IMFの上限質量にほとんど依存しない新しい関係**が導出された。これらの関係は、**若い高赤方偏移銀河における減光を推定する際に有用である**と示唆される。

Goals

銀河SED解析によるSFRとダスト減衰の理解

Originality

IMFの上限質量に依存しない新しいダスト減衰補正方法を確立

Methods and Results

モデル: GRASILモデル (輻射輸送コード) とPARSEC v1.2s (恒星進化コード)

はじめにGRASILに含まれる**非熱的電波放射モデルを、近くの典型的な星形成渦巻銀河である M100の観測データを用いて再較正。**この較正により、超新星爆発あたりの相対論的電子の注入エネルギーに関連する新しい較正定数$E_{1.49}^{NT}(\text{This work}) = 1.944 = E_{1.49}^{NT}(\text{B02}) \times 1.409$が得られた(式8)。

この較正されたモデルを用いて、NGC6946の8つの星形成領域 (EN1～EN3、EN5～EN9) の観測されたSEDにGRASILモデルをフィッティング。フィッティングの際には、IMFの上限質量M_{up}や、星形成バーストの年齢、ダストの特性などのパラメータを変化させ、最適なモデルを探索 (図4)。

最適なフィットを得られたSEDモデルを分析することで、各星形成領域の**SFRとダストの減光特性**を推定。さらに、これらのモデルから得られた光度とSFRを用いて、

$M_{up} = 40,80,120,350$太陽質量と変化させ、紫外線から電波までの波長における**SFR較正**を導出(表5, 図7)。この結果、SFR較正がM_{up}に依存することが示され、特に電波観測に基づくSFR指標はダストの減光の影響を受けにくいことが示唆された。

同様にして、NGC6946の星形成領域の**減光曲線**を調査(図8, 表6)。その結果、これらの領域では、輝線(H_α, H_β)の減光は連続光の減光と大きな差がないことがわかった。通常の銀河では、輝線は連続光よりも強く減光されるため、Balmer decrement法などの従来の減光推定法が用いられてきた。しかし、**NGC6946のように輝線と連続光の減光に差がない場合、これらの方法では減光を過小評価してしまう可能性**がある。**この問題を解決するために、33GHzの電波光度や全赤外光度とUV光度の比を用いた、新しい減光推定法を提案。** H_α**減光を観測された 33 GHz の全電波光度または熱的電波光度から推定する新しい関係式 (式16, 17)** が導出された。また、**1600 Å における減光を、全赤外光度** L_{TIR}**と減光された 1600 Å の光度**L_{1600}^{tra}**の比から推定する新しい関係式 (式18)** も得られた (図10)。これらの関係式は、M_{up} にほとんど依存しないことが示されており、高赤方偏移の若い銀河における減光の推定ひいては真の光度やSFRの推定に非常に役立つと考えられる。

図 4

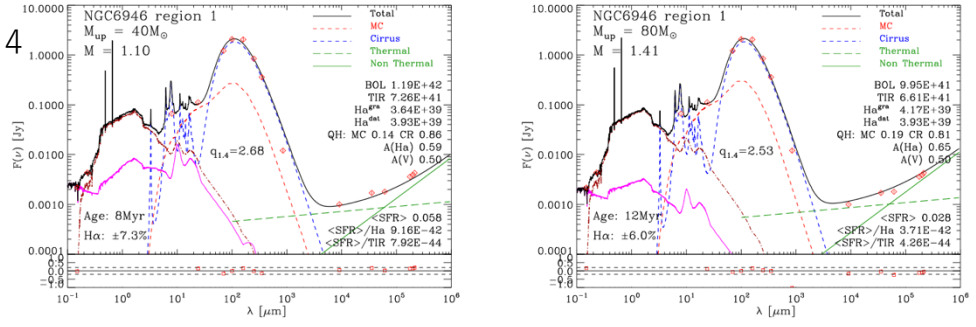


図7

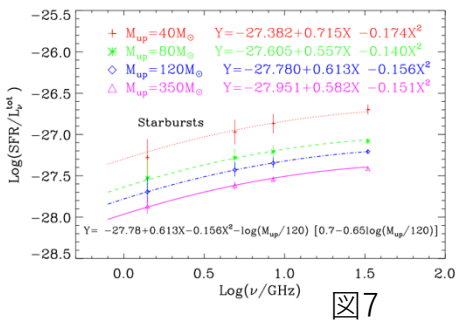


図9

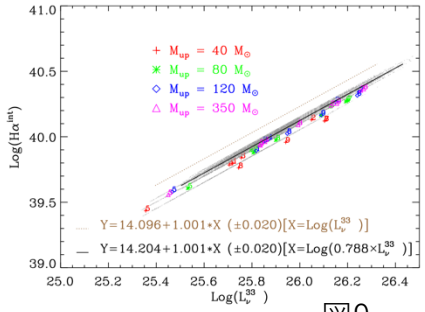


図 8

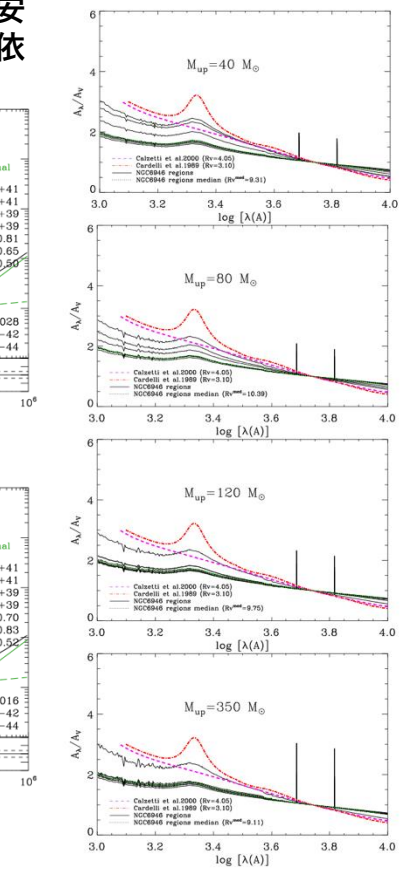
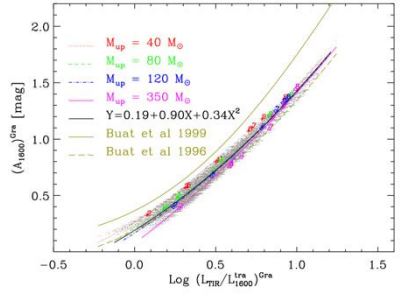


図10



Comments

今後より多くの銀河サンプルを分析することで、結果の統計的有用性を高められると期待　GRASILモデルの改良(連星系の進化を含める)

ID	SFR$_i$	C(BOL)	C(FUV)	C(24)	C(70)	C(TIR)	C(33)	C(8.5)	C(4.9)	C(1.4)	t	$q_{1.4}$
	($M_\odot$ yr^{-1})	(10^{-44})	(10^{-43})	(10^{-43})	(10^{-43})	(10^{-44})	(10^{-28})	(10^{-28})	(10^{-28})	(10^{-28})	(Myr)	
(1)	(2)	(3)	(4)	(5)	(6)	(7)	(8)	(9)	(10)	(11)	(12)	(13)
M_{up}	=	40 $M_\odot$										
*EN*1	0.06	4.86	1.24	8.67	1.73	7.92	11.00	7.44	5.94	3.02	8.0	2.68
*EN*2	0.12	5.22	1.24	10.88	3.26	14.00	11.10	7.44	5.94	3.02	8.0	2.40
*EN*3	0.06	5.05	1.24	11.73	2.20	10.20	11.10	7.44	5.94	3.02	8.0	2.58
*EN*5	0.03	5.02	1.24	11.79	2.31	10.0	11.00	7.44	5.94	3.02	8.0	2.56
*EN*6	0.12	4.03	1.08	4.72	1.26	5.76	9.39	5.46	4.08	1.80	10.0	2.59
*EN*7	0.12	3.97	1.08	4.49	1.24	5.59	9.39	5.46	4.08	1.80	10.0	2.59
*EN*8	0.05	3.56	1.08	4.41	0.98	4.55	9.37	5.46	4.08	1.80	10.0	2.70
*EN*9	0.08	3.85	1.08	4.27	1.21	5.23	9.38	5.46	4.08	1.80	10.0	2.62
EN^{med}	0.06	4.86	1.24	8.52	1.68	7.92	11.00	7.44	5.94	3.02	8.0	2.59
M_{up}	=	80 $M_\odot$										
*EN*1	0.03	2.81	0.75	4.09	0.91	4.26	4.39	2.89	2.29	1.14	12.0	2.53
*EN*2	0.10	5.76	1.35	9.05	2.74	12.60	7.82	5.51	4.52	2.45	10.0	2.39
*EN*3	0.03	3.15	0.81	6.04	1.01	5.17	4.68	3.30	2.71	1.47	10.0	2.59
*EN*5	0.01	3.21	0.75	7.28	1.38	6.37	4.40	2.89	2.29	1.14	12.0	2.37
*EN*6	0.07	2.63	0.75	2.64	0.71	3.37	4.40	2.89	2.29	1.14	12.0	2.64
*EN*7	0.07	2.62	0.75	2.63	0.71	3.37	4.40	2.89	2.29	1.14	12.0	2.64
*EN*8	0.04	2.44	0.75	2.65	0.60	2.96	4.39	2.89	2.29	1.14	12.0	2.71
*EN*9	0.05	2.64	0.75	2.56	0.72	3.38	4.39	2.89	2.29	1.14	12.0	2.63
EN^{med}	0.04	2.81	0.75	4.09	0.91	4.26	4.40	2.89	2.29	1.14	12.0	2.61
M_{up}	=	120 $M_\odot$										
*EN*1	0.02	2.43	0.66	3.03	0.77	3.50	3.49	2.31	1.82	0.91	14.0	2.51
*EN*2	0.09	5.00	1.22	6.64	2.15	10.10	6.13	4.51	3.79	2.19	10.0	2.44
*EN*3	0.03	2.83	0.75	5.57	0.86	4.63	3.76	2.77	2.32	1.34	10.0	2.61
*EN*5	0.01	2.88	0.75	5.76	0.96	4.63	3.74	2.77	2.32	1.34	10.0	2.58
*EN*6	0.06	2.30	0.66	2.22	0.67	2.98	3.49	2.31	1.82	0.91	14.0	2.57
*EN*7	0.06	2.38	0.69	2.08	0.63	2.96	3.59	2.49	2.02	1.07	12.0	2.66
*EN*8	0.03	2.18	0.66	2.08	0.57	2.65	3.49	2.31	1.82	0.91	14.0	2.64
*EN*9	0.04	2.21	0.66	2.17	0.57	2.72	3.49	2.31	1.82	0.91	14.0	2.64
EN^{med}	0.03	2.43	0.69	3.03	0.77	3.50	3.59	2.49	2.02	1.07	12.0	2.59
M_{up}	=	350 $M_\odot$										
*EN*1	0.02	1.82	0.52	2.29	0.54	2.48	2.31	1.63	1.33	0.71	16.0	2.57
*EN*2	0.05	3.34	0.83	4.95	1.24	6.33	3.69	2.67	2.22	1.24	14.0	2.43
*EN*3	0.02	1.92	0.53	3.14	0.52	2.79	2.37	1.71	1.42	0.80	14.0	2.61
*EN*5	0.01	2.03	0.53	3.37	0.60	2.79	2.36	1.71	1.42	0.80	14.0	2.58
*EN*6	0.04	1.77	0.52	1.77	0.46	2.22	2.32	1.63	1.33	0.71	16.0	2.63
*EN*7	0.04	1.68	0.52	1.65	0.45	2.09	2.32	1.63	1.33	0.71	16.0	2.63
*EN*8	0.02	1.70	0.52	1.80	0.39	2.00	2.32	1.63	1.33	0.71	16.0	2.69
*EN*9	0.03	1.69	0.52	1.40	0.47	2.07	2.32	1.63	1.33	0.71	16.0	2.62
EN^{med}	0.02	1.82	0.52	2.29	0.52	2.48	2.32	1.63	1.33	0.71	16.0	2.62
Literature			0.44 (a)	2.46 (d) 4.80 (h)	0.97 (g) 0.92 (h)	4.55 (b) 3.88 (a) 0.58 (f)	6.53 (a) 0.62 (e) 3.99 (h)	2.0 (e)	1.4 (e)	0.64 (a)		

表5　$C(b) = \mathrm{SFR}/L(b)$：bはバンド

ID	$A_{H\alpha}$	$A_{H\beta}$	A_{FUV}	A_{NUV}	A_B	A_V	τ_1
(1)	(2)	(3)	(4)	(5)	(6)	(7)	(8)
$M_{up} = 40\ M_\odot$							
EN1	0.59	0.66	0.81	0.85	0.56	0.50	12.00
EN2	0.26	0.28	0.32	0.34	0.17	0.14	21.33
EN3	0.43	0.49	0.57	0.6	0.31	0.26	33.33
EN5	0.48	0.53	0.57	0.60	0.35	0.30	33.33
EN6	0.95	1.03	1.07	1.11	0.73	0.66	9.91
EN7	0.98	1.05	1.10	1.14	0.76	0.69	7.68
EN8	1.17	1.25	1.35	1.40	0.96	0.89	7.68
EN9	1.04	1.12	1.18	1.23	0.82	0.75	7.68
$M_{up} = 80\ M_\odot$							
EN1	0.65	0.71	0.79	0.82	0.54	0.49	12.00
EN2	0.34	0.37	0.38	0.40	0.21	0.18	21.33
EN3	0.65	0.70	0.71	0.73	0.45	0.40	33.33
EN5	0.42	0.46	0.48	0.51	0.29	0.25	33.33
EN6	1.14	1.22	1.20	1.24	0.82	0.75	12.00
EN7	1.14	1.22	1.20	1.24	0.82	0.75	12.00
EN8	1.27	1.35	1.38	1.42	0.96	0.89	12.00
EN9	1.14	1.22	1.20	1.24	0.82	0.75	12.00
$M_{up} = 120\ M_\odot$							
EN1	0.73	0.79	0.82	0.86	0.57	0.52	12.00
EN2	0.39	0.42	0.40	0.41	0.21	0.18	21.33
EN3	0.58	0.64	0.67	0.69	0.43	0.39	33.33
EN5	0.58	0.64	0.67	0.69	0.43	0.39	33.33
EN6	1.17	1.24	1.10	1.13	0.73	0.66	12.00
EN7	1.25	1.33	1.25	1.29	0.84	0.76	12.00
EN8	1.36	1.44	1.36	1.40	0.94	0.85	12.00
EN9	1.33	1.41	1.32	1.36	0.91	0.83	12.00
$M_{up} = 350\ M_\odot$							
EN1	0.83	0.89	0.84	0.87	0.58	0.52	21.33
EN2	0.49	0.52	0.39	0.4	0.20	0.17	33.33
EN3	0.76	0.82	0.76	0.79	0.51	0.46	33.33
EN5	0.76	0.82	0.76	0.79	0.51	0.46	33.33
EN6	1.34	1.41	1.19	1.22	0.77	0.69	21.33
EN7	1.07	1.14	1.09	1.13	0.77	0.70	12.00
EN8	1.53	1.62	1.45	1.49	0.98	0.89	21.33
EN9	1.42	1.50	1.29	1.32	0.86	0.77	12.00

表6